

5 - 7 東海地方の地殻変動

Crustal Movement in the Tokai Region

国土地理院

Geographical Survey Institute

第1図は掛川～御前崎間の上下変動であるが、御前崎側が隆起になっており、これまでと同じパターンの季節的変動を示している。第2図はB.M.2595（浜岡町）の経年変化であるが、従来の傾向が継続している。第3図、B.M.2602-1（菊川町）と、B.M.2601（小笠町）の経年変化である。変動パターンに変化はみられない。

第4図は静岡～沼津間の上下変動で、沼津側が相対的に隆起である。

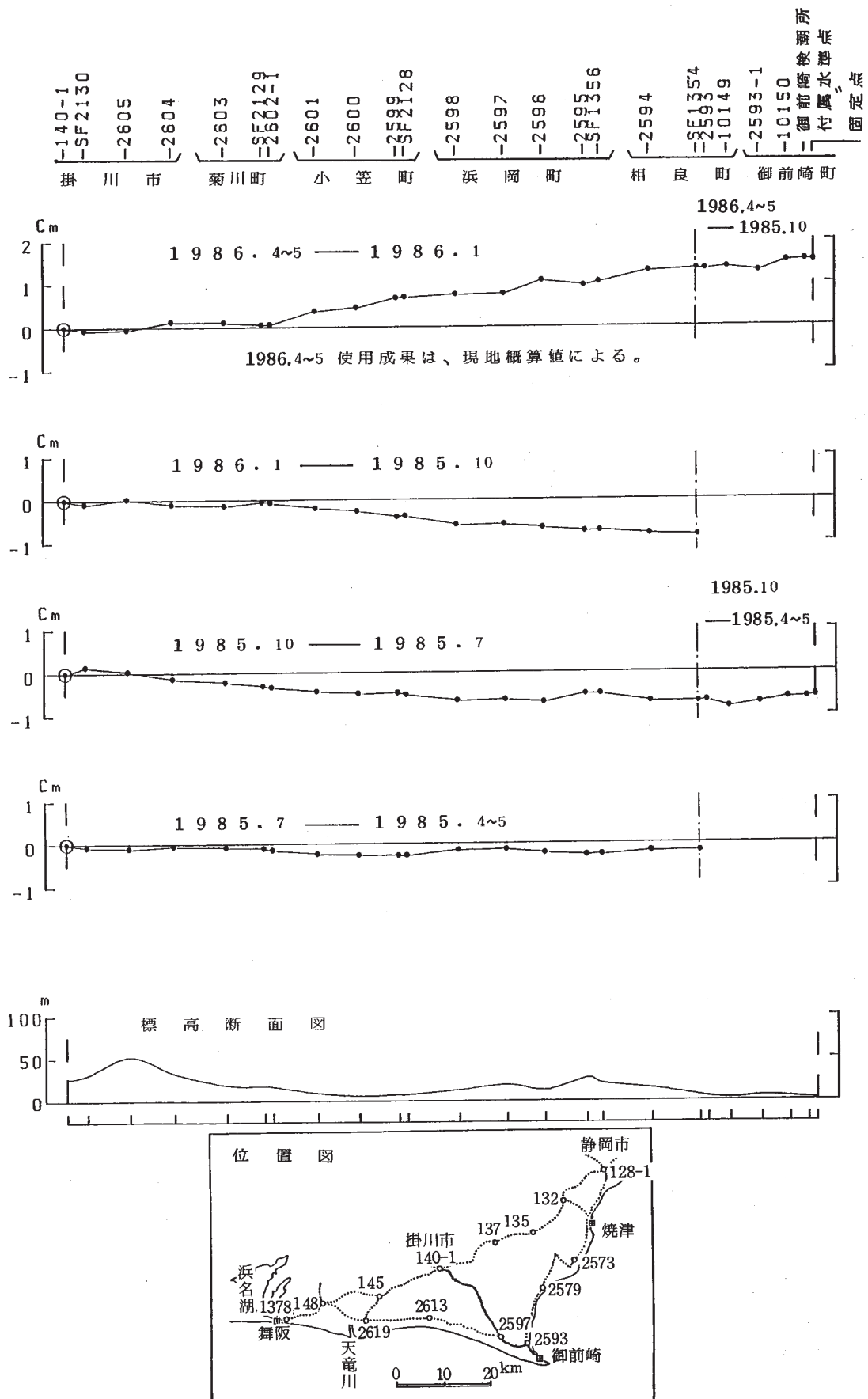
第5図、第6図は東海地方の各験潮場間の月平均潮位差であるが、特に変化はない。

第7図は御前崎精密変歪測量の結果である。北西-南東方向の圧縮歪であるが、大きな変動はない。第8図、第9図は駿河湾地方の精密辺歪測量結果である。測量誤差以上の変動は起きていない。

参 考 文 献

国土地理院：御前崎地方の地殻変動，連絡会報，**34**（1985），274 - 283.

国土地理院：東海地方の地殻変動，連絡会報，**35**（1986），291 - 305.

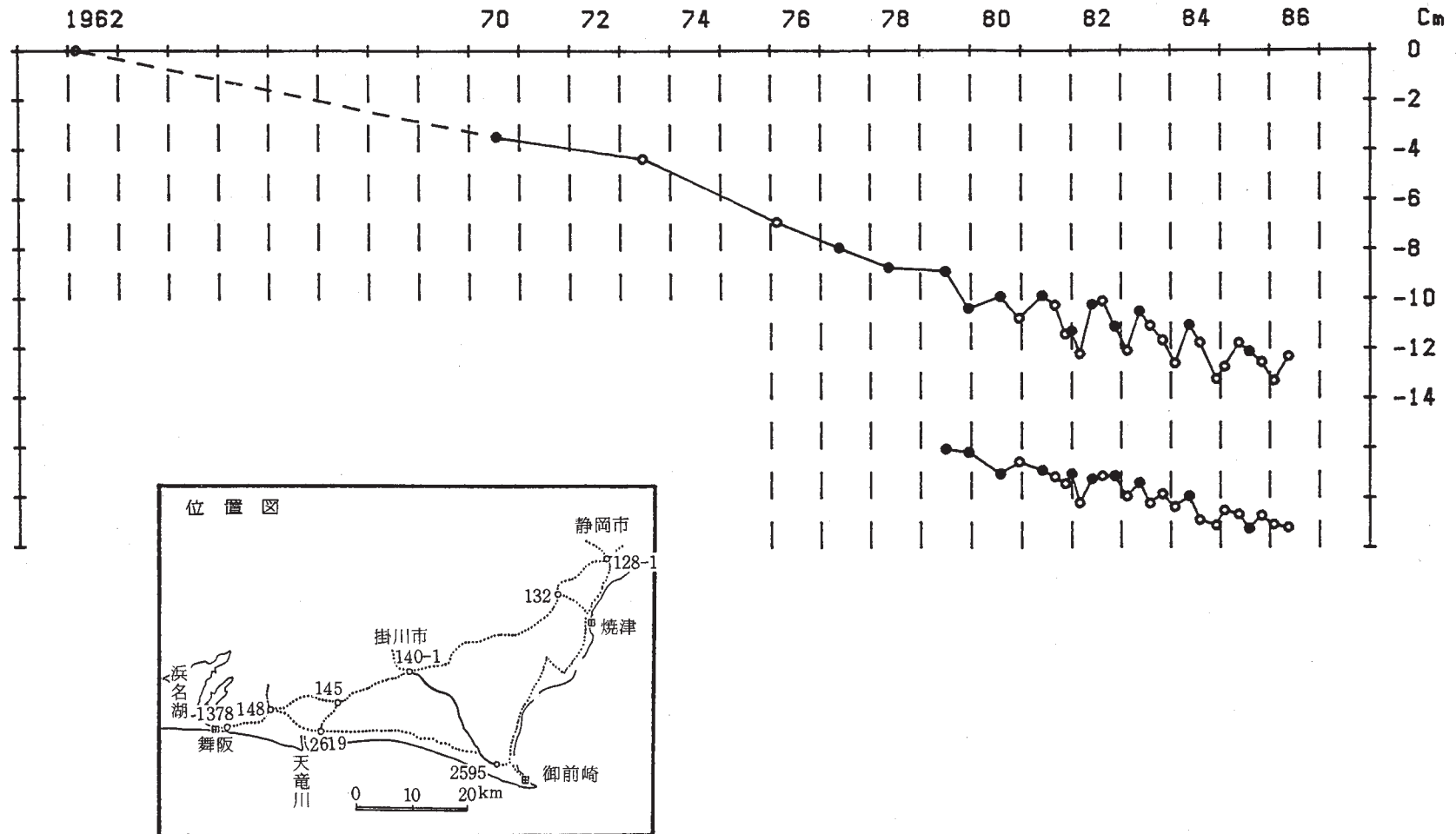


第1図 掛川～御前崎間の上下変動

Fig. 1 Level changes along the route from Kakegawa to Omaezaki.

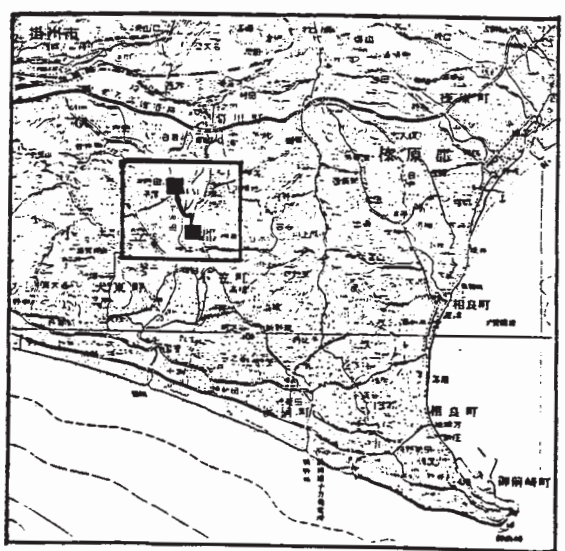
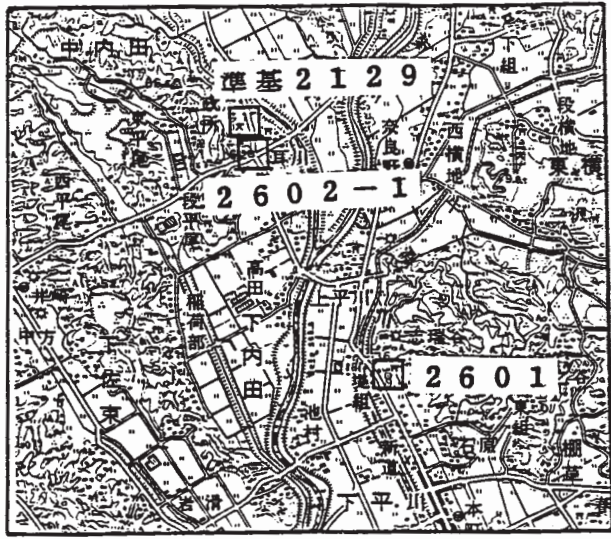
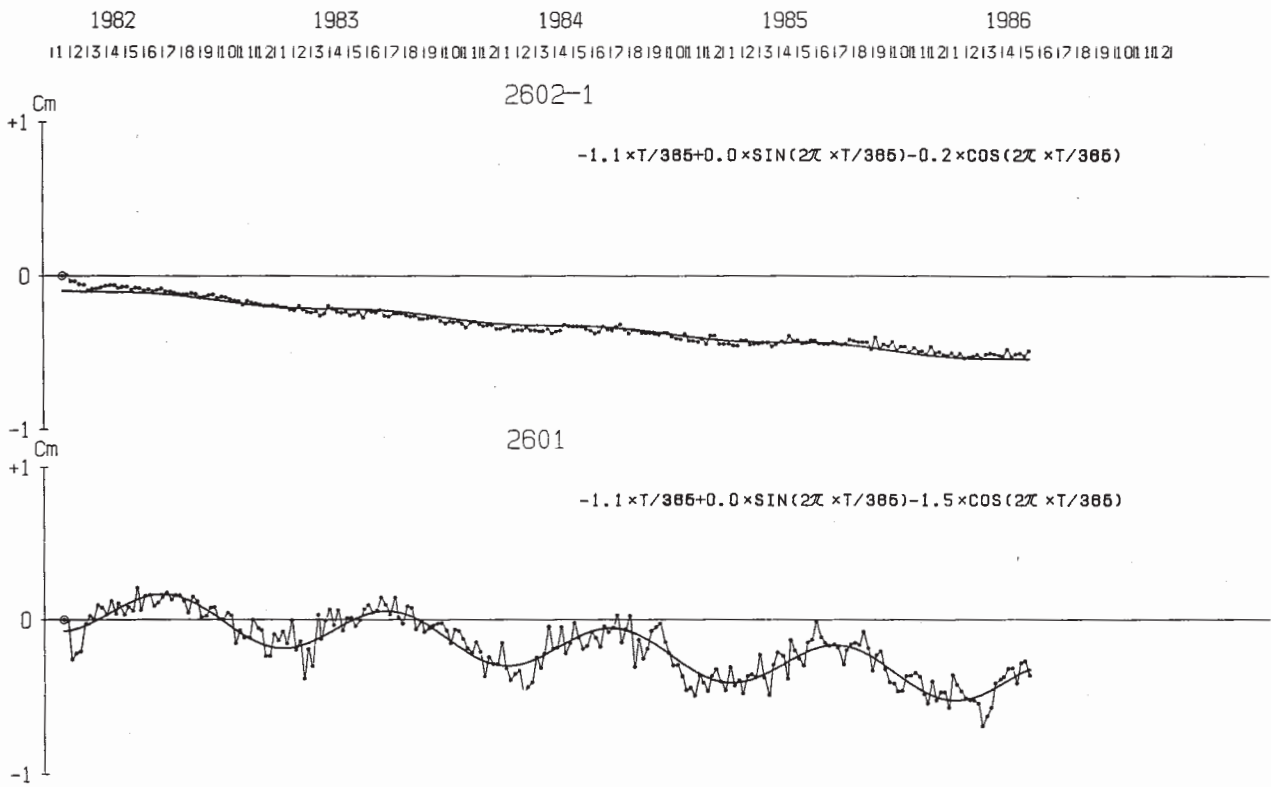
基準：140-1 基準年：1962

●：網平均計算値による。
○：突き出し観測値による。



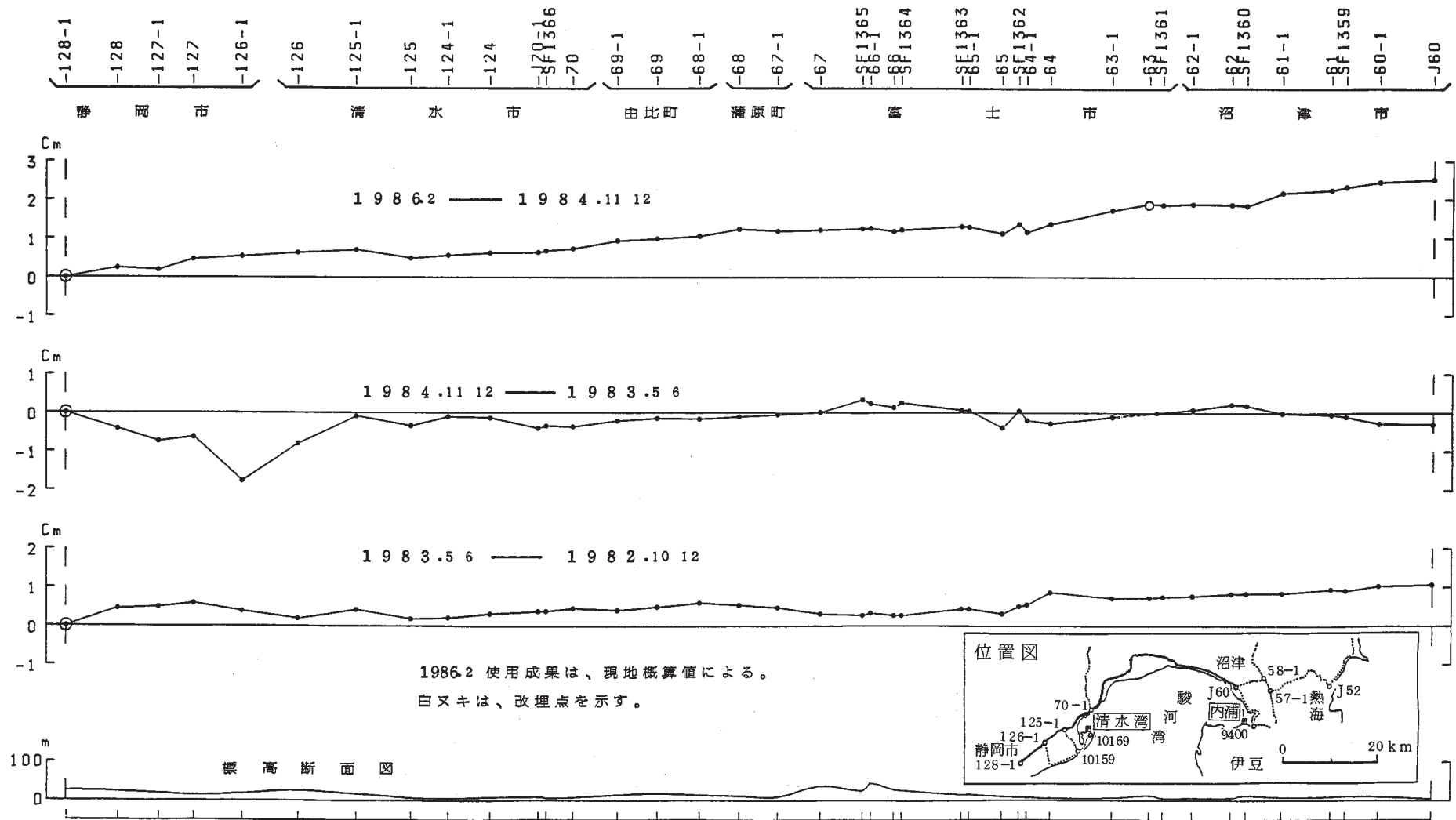
第2図 水準点2595（浜岡町）の経年変化

Fig. 2 Height changes of B.M.2595 in the Hamaoka Town relative to B.M.140-1.



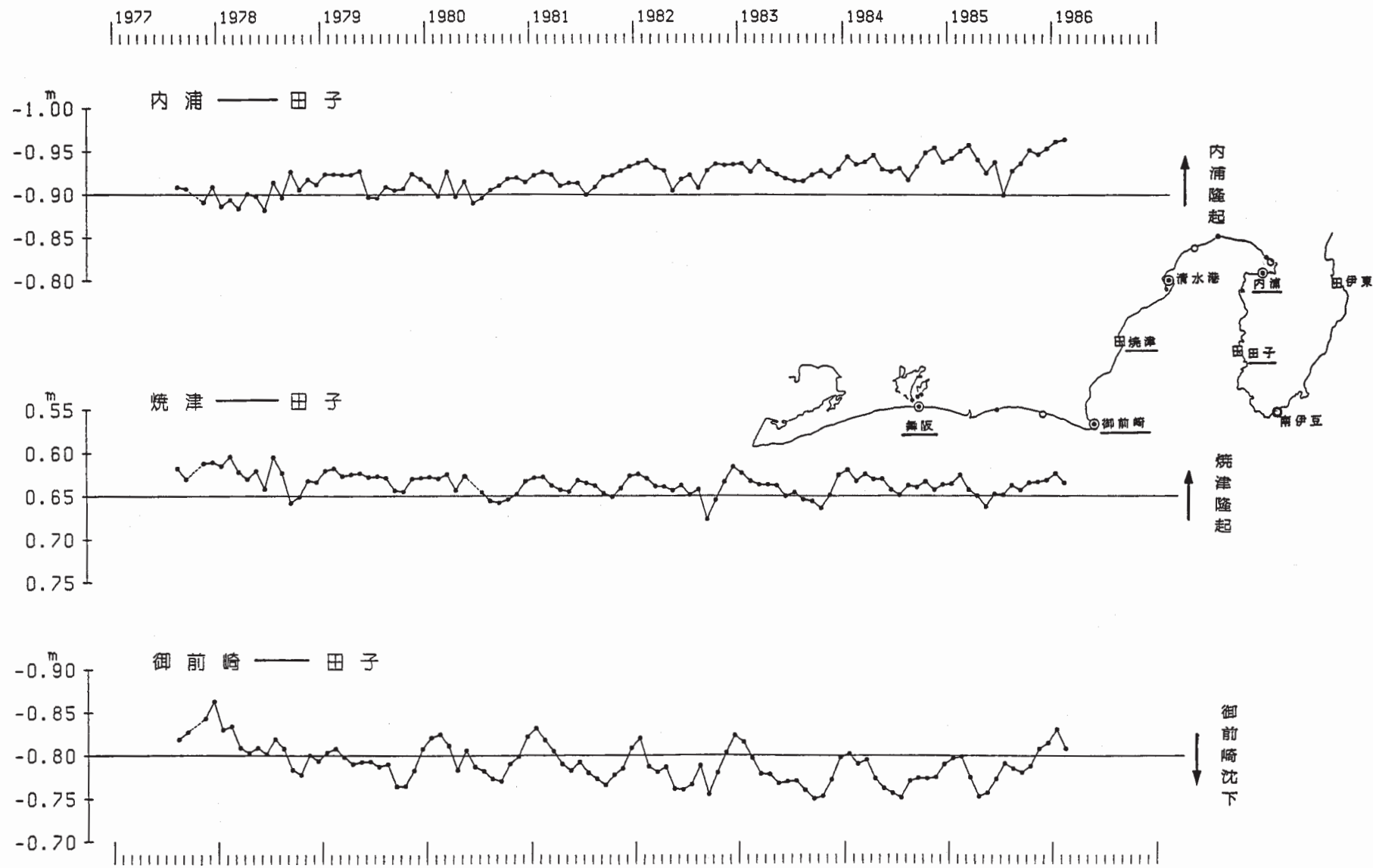
第3図 水準点2602-1(菊川町)と2601(小笠町)の経年変化(2)

Fig. 3 Height changes of B.M.2602-1 (Kikukawa Town) and B.M. 2601 (Ogasa Town) relative to B.M.2129.



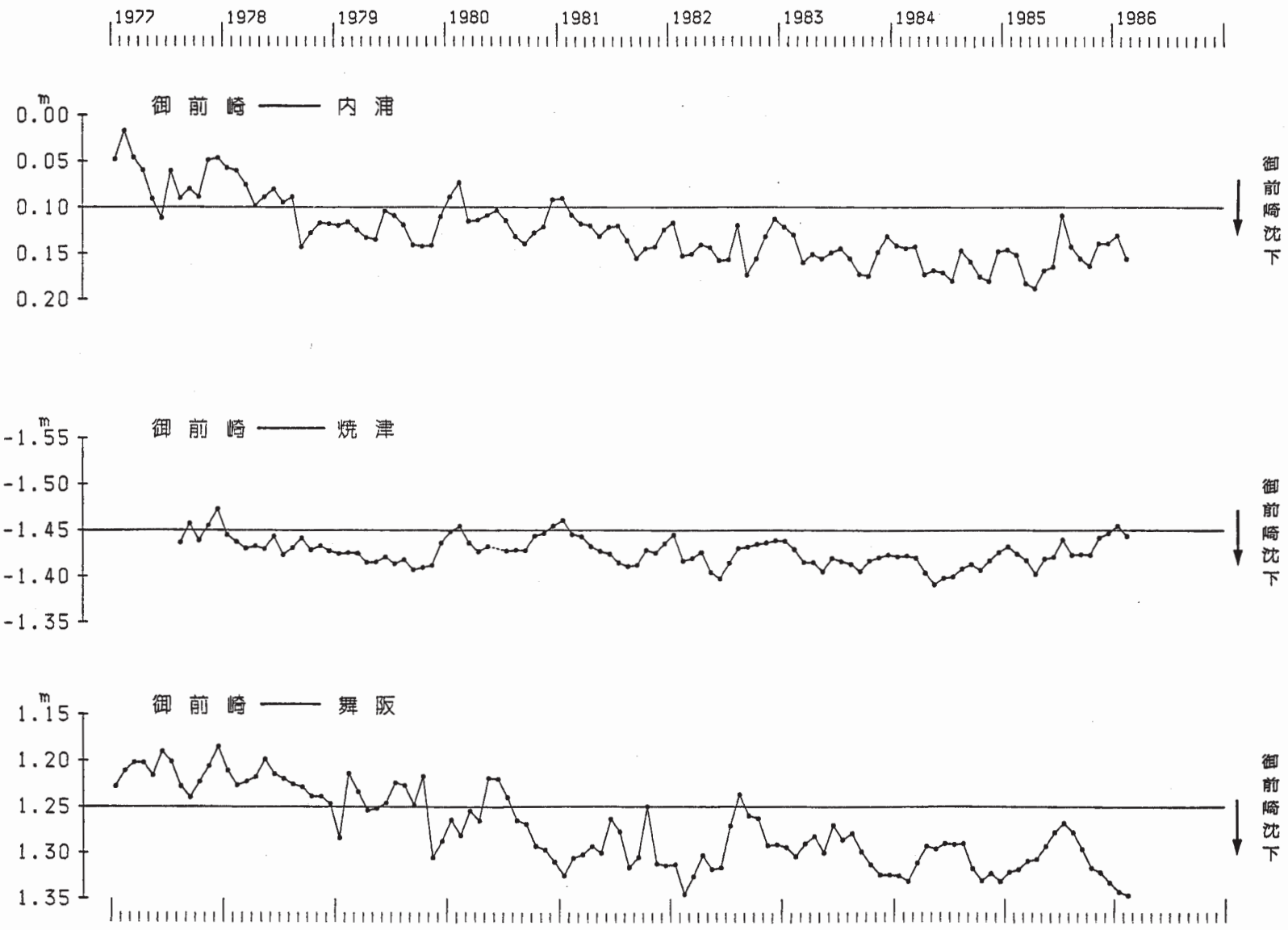
第4図 静岡～沼津間の上下変動

Fig. 4 Level changes along the route from Shizuoka to Numazu.



第5図 東海地方各験潮場間の月平均潮位差 (1)

Fig. 5 Differences in monthly mean sea level between tidal station pairs in the Tokai region (1).



第6図 東海地方各験潮場間の月平均潮位差 (2)

Fig. 6 Differences in monthly mean sea level between tidal station pairs in the Tokai region (2).

| 測定年 区 間 | 1974.04 | 75.11 | 76.11 | 77.11 | 78.05 | 78.11 | 79.12 | 80.02 | 80.12 | 81.12 | 82.12 | 83.12 | 84.12 | 85.12 |
|------------|-----------|-----------------------|-------|-------|-------|-------|-------|-------|-------|-------|-------|-------|-------|-------|
| | 坂部村 - 高草山 | 18335.45 ^m | .45 | .44 | .43 | .45 | .46 | .47 | .47 | .45 | .44 | .43 | .48 | .46 |
| 坂部村 - 御前崎 | 18487.72 | .72 | .72 | .70 | .71 | .72 | .72 | .72 | .69 | .67 | .66 | .71 | .69 | .69 |
| 坂部村 - 横岡 | 13071.67 | .65 | .66 | .64 | .65 | .65 | .66 | .66 | .63 | .62 | .62 | .65 | .67 | .65 |

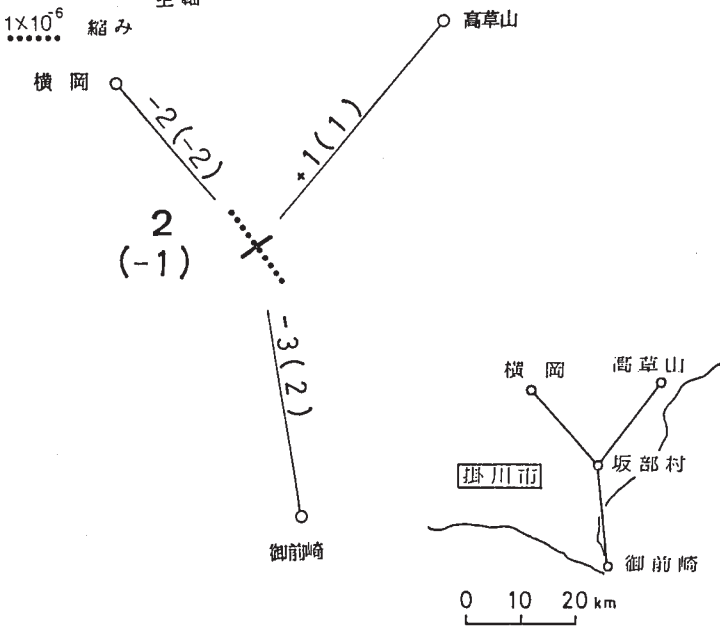
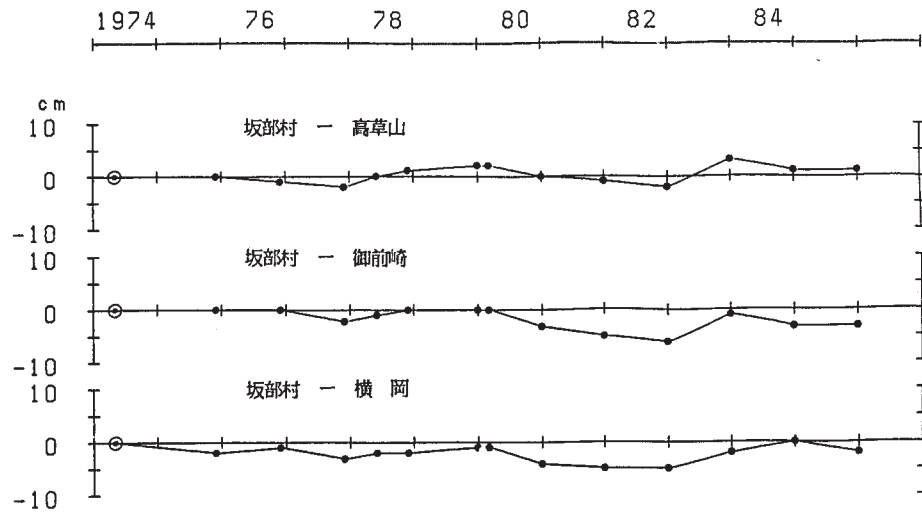
水 平 歪

辺 長 変 化

比較年 1985.12 - 1974.4
 数値：最大せん断歪 10^{-6}
 ()：面積変化率 10^{-6}

比較年 同左
 単位：Cm
 ()： $\Delta S/S \cdot 10^{-6}$

1×10^{-6} 伸び 主軸
 1×10^{-6} 縮み



第 7 図 御前崎精密辺歪測量結果

Fig. 7 Results of precise distance measurements of the Omazaki radial base lines.

水平歪

比較年： 1985.11~12 — 1983.11~12

数値： 最大せん断歪 10^6

() : 面積変化率 10^6

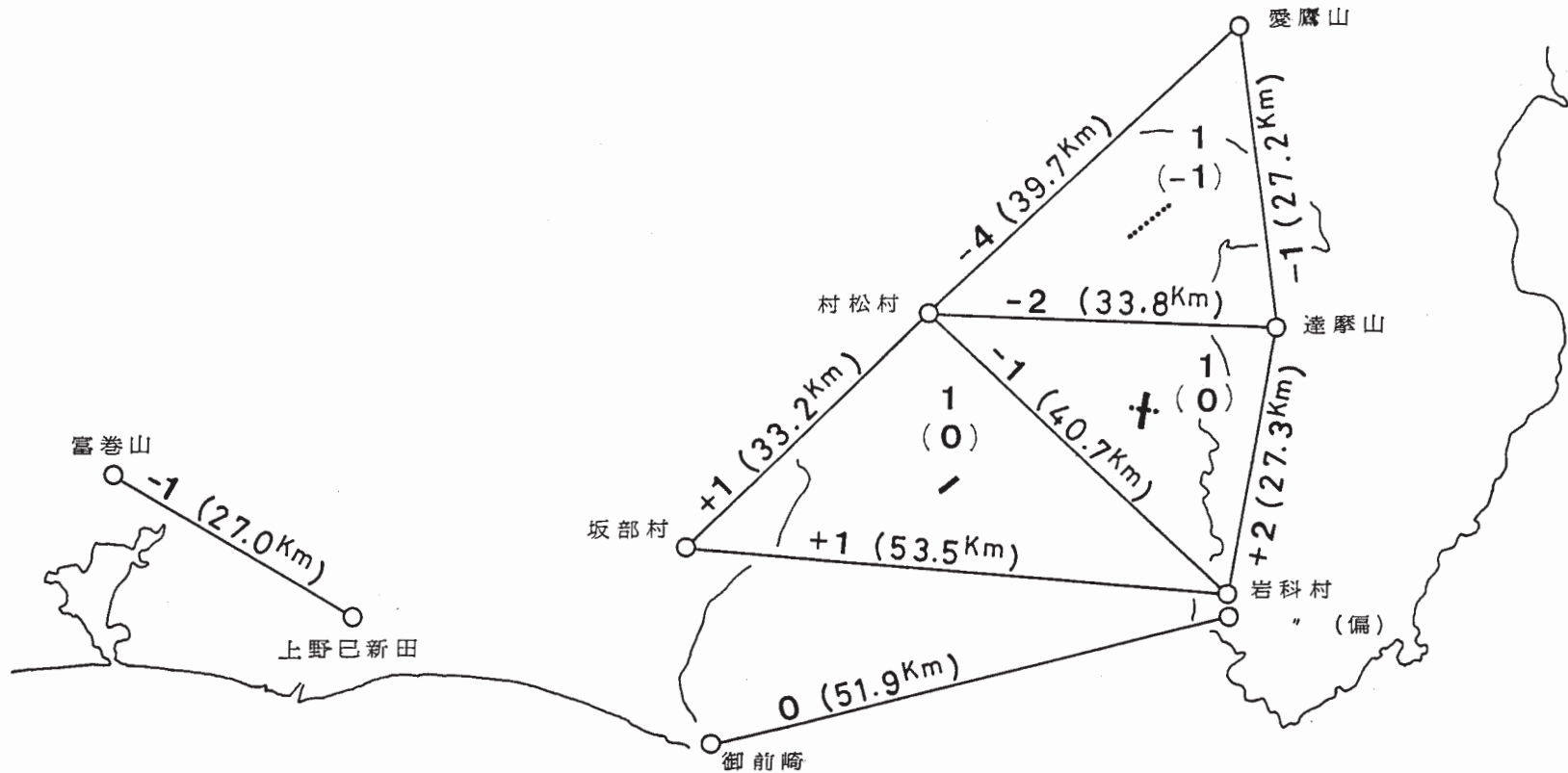
1×10^6 : 伸び) 主軸

1×10^6 : 縮み

辺長変化

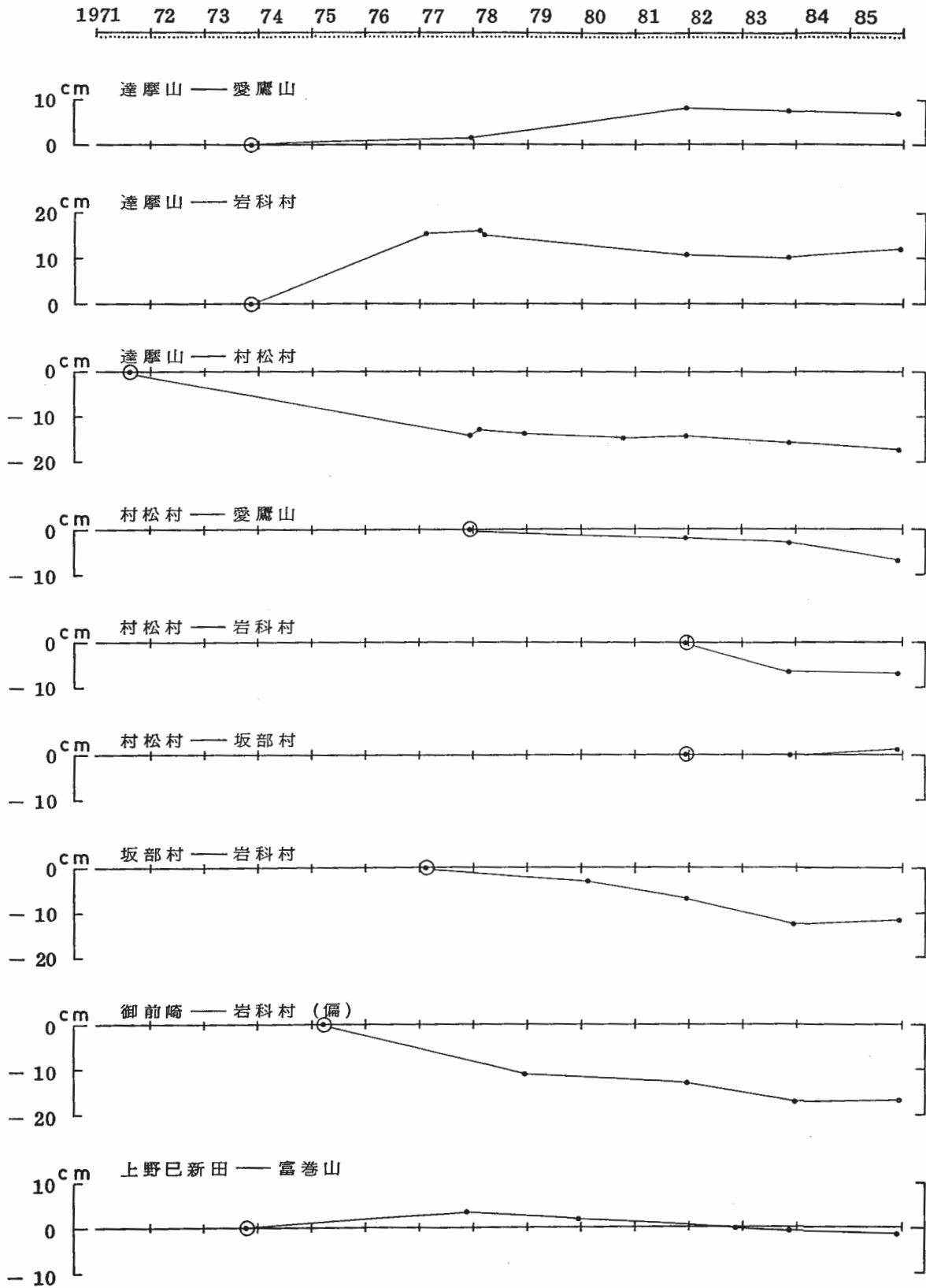
比較年： 左に同じ

単位： **cm**



第8図 駿河湾地方の精密辺歪測量結果 (1)

Fig. 8 Results of precise distance measurements in the Suruga Bay (1).



第9図 駿河湾地方の精密辺歪測量結果 (2)

Fig. 9 Results of precise distance measurements in the Suruga Bay (2).